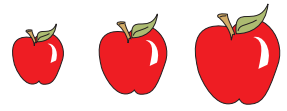


GHD - Temps, Equilibre, Orbites

Jérôme Perez



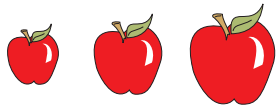
Temps de croisement et dynamique



Temps de croisement et dynamique

R taille caractéristique du système, V vitesse caractéristique d'une particule test dans le système (ou bien $\sigma = \sqrt{\langle V^2 \rangle}$)

$$\text{Temps de croisement : } T_{cr} \propto \frac{R}{\sigma}$$



Temps de croisement et dynamique

R taille caractéristique du système, V vitesse caractéristique d'une particule test dans le système (ou bien $\sigma = \sqrt{\langle V^2 \rangle}$)

$$\text{Temps de croisement : } T_{cr} \propto \frac{R}{\sigma}$$

Hypothèse : système autogravitant isolé à l'équilibre formé de N particules chacune de masse m : Viriel $2E_c + E_p = 0$

$$E_c = \frac{1}{2}Nm\sigma^2 \quad \text{et} \quad E_p = -\frac{G(Nm)^2}{R} \quad \Rightarrow \quad \sigma = \left(\frac{GNm}{R}\right)^{1/2} = \left(\frac{GM}{R}\right)^{1/2}$$



Temps de croisement et dynamique

R taille caractéristique du système, V vitesse caractéristique d'une particule test dans le système (ou bien $\sigma = \sqrt{\langle V^2 \rangle}$)

$$\text{Temps de croisement : } T_{cr} \propto \frac{R}{\sigma}$$

Hypothèse : système autogravitant isolé à l'équilibre formé de N particules chacune de masse m : Viriel $2E_c + E_p = 0$

$$E_c = \frac{1}{2}Nm\sigma^2 \quad \text{et} \quad E_p = -\frac{G(Nm)^2}{R} \quad \Rightarrow \quad \sigma = \left(\frac{GNm}{R}\right)^{1/2} = \left(\frac{GM}{R}\right)^{1/2}$$

$$T_{cr} \rightarrow T_{dyn} \propto \sqrt{\frac{R^3}{GM}}$$

le rapport $R^3/M \propto$ densité de masse moyenne $\bar{\rho}$ du système

$$T_{dyn} \propto (G\bar{\rho})^{-1/2} \propto T_{cr}$$



Temps de croisement et dynamique

R taille caractéristique du système, V vitesse caractéristique d'une particule test dans le système (ou bien $\sigma = \sqrt{\langle V^2 \rangle}$)

$$\text{Temps de croisement : } T_{cr} \propto \frac{R}{\sigma}$$

Hypothèse : système autogravitant isolé à l'équilibre formé de N particules chacune de masse m : Viriel $2E_c + E_p = 0$

$$E_c = \frac{1}{2}Nm\sigma^2 \quad \text{et} \quad E_p = -\frac{G(Nm)^2}{R} \quad \Rightarrow \quad \sigma = \left(\frac{GNm}{R}\right)^{1/2} = \left(\frac{GM}{R}\right)^{1/2}$$

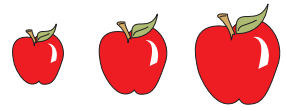
$$T_{cr} \rightarrow T_{dyn} \propto \sqrt{\frac{R^3}{GM}}$$

le rapport $R^3/M \propto$ densité de masse moyenne $\bar{\rho}$ du système

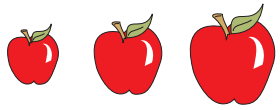
$$T_{dyn} \propto (G\bar{\rho})^{-1/2} \propto T_{cr}$$

Si $\rho(\mathbf{r})$, $\psi(\mathbf{r})$, ... connus : Orbite d'une particule test d'énergie E .

\Rightarrow Si $E = cste < 0$, mouvement périodique de période $T_{orb} \propto T_{cr} \approx T_{dyn}$



Temps de relaxation à deux corps

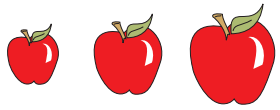


Temps de relaxation à deux corps

Particule test de masse m , de vitesse v évoluant dans le champ moyen créé par N particules de masse m .

T_{rel} temps mis par les interactions à 2 corps pour modifier significativement v^2

$$T_{rel} \propto \left[\frac{1}{v^2} \left(\frac{dv^2}{dt} \right) \right]^{-1} \quad (1)$$



Temps de relaxation à deux corps

Particule test de masse m , de vitesse v évoluant dans le champ moyen créé par N particules de masse m .

T_{rel} temps mis par les interactions à 2 corps pour modifier significativement v^2

$$T_{rel} \propto \left[\frac{1}{v^2} \left(\frac{dv^2}{dt} \right) \right]^{-1} \quad (1)$$

Calcul rigoureux : difficile [HH]

Ordre de grandeur : simple... Chandrasekhar, 1942



Temps de relaxation à deux corps

Particule test de masse m , de vitesse v évoluant dans le champ moyen créé par N particules de masse m .

T_{rel} temps mis par les interactions à 2 corps pour modifier significativement v^2

$$T_{rel} \propto \left[\frac{1}{v^2} \left(\frac{dv^2}{dt} \right) \right]^{-1} \quad (1)$$

Calcul rigoureux : difficile [HH]

Ordre de grandeur : simple... Chandrasekhar, 1942

Passage à une distance λ d'un voisin à la vitesse v

$$F = \frac{Gm^2}{\lambda^2} \quad \text{pendant} \quad \delta\tau = \frac{\lambda}{v}, \quad \lambda : \text{paramètre d'impact}$$

Principe fondamental de la dynamique

$$m \frac{\delta v}{\delta\tau} = F \quad \Rightarrow \quad \delta v = \frac{F \delta\tau}{m} = \frac{Gm}{\lambda v} \quad (2)$$



Temps de relaxation à deux corps

Particule test de masse m , de vitesse v évoluant dans le champ moyen créé par N particules de masse m .

T_{rel} temps mis par les interactions à 2 corps pour modifier significativement v^2

$$T_{rel} \propto \left[\frac{1}{v^2} \left(\frac{dv^2}{dt} \right) \right]^{-1} \quad (1)$$

Calcul rigoureux : difficile [HH]

Ordre de grandeur : simple... Chandrasekhar, 1942

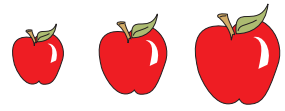
Passage à une distance λ d'un voisin à la vitesse v

$$F = \frac{Gm^2}{\lambda^2} \quad \text{pendant} \quad \delta\tau = \frac{\lambda}{v}, \quad \lambda : \text{paramètre d'impact}$$

Principe fondamental de la dynamique

$$m \frac{\delta v}{\delta\tau} = F \quad \Rightarrow \quad \delta v = \frac{F \delta\tau}{m} = \frac{Gm}{\lambda v} \quad (2)$$

Particule test est en orbite circulaire de rayon r dans le système de densité ρ .



Collisions avec $\lambda \in [\lambda, \lambda + d\lambda]$: $dn = (2\pi p dp) \times (2\pi r) \times \left(\frac{\rho(r)}{m}\right)$



Collisions avec $\lambda \in [\lambda, \lambda + d\lambda]$: $dn = (2\pi p dp) \times (2\pi r) \times \left(\frac{\rho(r)}{m}\right)$

Collisions aléatoires : $\overline{\delta v} = 0$, mais

$$(\Delta v^2)_{orb} = \int_{p_{\min}}^{p_{\max}} \delta v^2 dn = \frac{4\pi^2 G^2 m r \rho(r)}{v^2} \int_{p_{\min}}^{p_{\max}} \frac{dp}{p}$$

Logarithme coulombien $\ln \Lambda = \ln(p_{\max}) - \ln(p_{\min})$



Collisions avec $\lambda \in [\lambda, \lambda + d\lambda]$: $dn = (2\pi p dp) \times (2\pi r) \times \left(\frac{\rho(r)}{m}\right)$

Collisions aléatoires : $\overline{\delta v} = 0$, mais

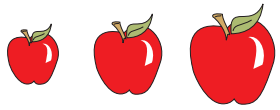
$$(\Delta v^2)_{orb} = \int_{p_{\min}}^{p_{\max}} \delta v^2 dn = \frac{4\pi^2 G^2 m r \rho(r)}{v^2} \int_{p_{\min}}^{p_{\max}} \frac{dp}{p}$$

Logarithme coulombien $\ln \Lambda = \ln(p_{\max}) - \ln(p_{\min})$

Hypothèse : $p_{\max} = r$ et $p_{\min} \approx$ rayon d'une particule $\approx \left(\frac{\frac{4}{3}\pi r^3}{N}\right)^{1/3} = \left(\frac{4\pi}{3N}\right)^{1/3} r$.

Ainsi, $\ln \Lambda = -\frac{1}{3} \ln\left(\frac{4\pi}{3N}\right) \approx \frac{1}{3} \ln N$ et

$$(\Delta v^2)_{orb} = \frac{4\pi^2}{3} \frac{G^2 m r \rho(r)}{v^2} \ln N$$



Collisions avec $\lambda \in [\lambda, \lambda + d\lambda] : dn = (2\pi p dp) \times (2\pi r) \times \left(\frac{\rho(r)}{m}\right)$

Collisions aléatoires : $\overline{\delta v} = 0$, mais

$$(\Delta v^2)_{orb} = \int_{p_{\min}}^{p_{\max}} \delta v^2 dn = \frac{4\pi^2 G^2 m r \rho(r)}{v^2} \int_{p_{\min}}^{p_{\max}} \frac{dp}{p}$$

Logarithme coulombien $\ln \Lambda = \ln(p_{\max}) - \ln(p_{\min})$

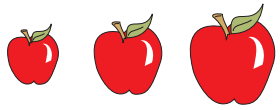
Hypothèse : $p_{\max} = r$ et $p_{\min} \approx$ rayon d'une particule $\approx \left(\frac{\frac{4}{3}\pi r^3}{N}\right)^{1/3} = \left(\frac{4\pi}{3N}\right)^{1/3} r$.

Ainsi, $\ln \Lambda = -\frac{1}{3} \ln\left(\frac{4\pi}{3N}\right) \approx \frac{1}{3} \ln N$ et

$$(\Delta v^2)_{orb} = \frac{4\pi^2}{3} \frac{G^2 m r \rho(r)}{v^2} \ln N$$

Pour une période orbitale $(\Delta t)_{orb} \approx T_{dyn}$ ainsi

$$T_{rel}^{-1} = \frac{1}{v^2} \left(\frac{dv^2}{dt}\right)_{orb} \approx \frac{4\pi^2}{3} \frac{G^2 m r \rho(r)}{v^4} \frac{\ln N}{T_{dyn}}$$



Collisions avec $\lambda \in [\lambda, \lambda + d\lambda]$: $dn = (2\pi p dp) \times (2\pi r) \times \left(\frac{\rho(r)}{m}\right)$

Collisions aléatoires : $\overline{\delta v} = 0$, mais

$$(\Delta v^2)_{orb} = \int_{p_{\min}}^{p_{\max}} \delta v^2 dn = \frac{4\pi^2 G^2 m r \rho(r)}{v^2} \int_{p_{\min}}^{p_{\max}} \frac{dp}{p}$$

Logarithme coulombien $\ln \Lambda = \ln(p_{\max}) - \ln(p_{\min})$

Hypothèse : $p_{\max} = r$ et $p_{\min} \approx$ rayon d'une particule $\approx \left(\frac{\frac{4}{3}\pi r^3}{N}\right)^{1/3} = \left(\frac{4\pi}{3N}\right)^{1/3} r$.

Ainsi, $\ln \Lambda = -\frac{1}{3} \ln\left(\frac{4\pi}{3N}\right) \approx \frac{1}{3} \ln N$ et

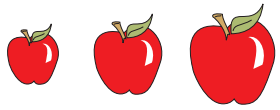
$$(\Delta v^2)_{orb} = \frac{4\pi^2}{3} \frac{G^2 m r \rho(r)}{v^2} \ln N$$

Pour une période orbitale $(\Delta t)_{orb} \approx T_{dyn}$ ainsi

$$T_{rel}^{-1} = \frac{1}{v^2} \left(\frac{dv^2}{dt}\right)_{orb} \approx \frac{4\pi^2}{3} \frac{G^2 m r \rho(r)}{v^4} \frac{\ln N}{T_{dyn}}$$

Viriel : $v^4 = \left(\frac{GNm}{r}\right)^2$ et $\rho(r) = Nm \left(\frac{4}{3}\pi r^3\right)^{-1}$, on trouve

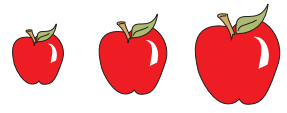
$$\frac{T_{rel}}{T_{dyn}} \approx \frac{9}{16\pi^3} \frac{N}{\ln N}$$



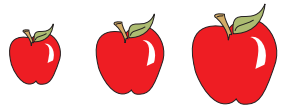
Application numérique

	N	R [kpc]	σ [km/s]	T_{dyn} [Gan]	T_{rel} [Gan]
Amas ouverts	250	1×10^{-3}	1	1×10^{-3}	4×10^{-2}
Amas globulaires	5×10^5	1×10^{-2}	7	1×10^{-3}	5×10^1
Galaxies elliptiques	10^{11}	5	200	2×10^{-2}	1×10^8
Groupes de galaxies diffus	5	400	100	4×10^0	1×10^1
Groupes de galaxies compacts	4	40	200	2×10^{-1}	6×10^{-1}
Amas de galaxies riches	400	1200	700	1×10^{-0}	1×10^2

Relaxation 2 corps \Rightarrow Ralentir les plus lourds \Rightarrow Ségrégation de masse



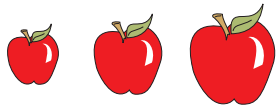
Équilibre : $f = f_o(\mathbf{r}, \mathbf{p})$



Équilibre : $f = f_o(\mathbf{r}, \mathbf{p})$

Equation de Vlasov, $E = \frac{p^2}{2m} + m\psi$

$$\frac{\partial f}{\partial t} + \frac{\mathbf{p}}{m} \cdot \frac{\partial f}{\partial \mathbf{r}} - m \frac{\partial \psi}{\partial \mathbf{r}} \cdot \frac{\partial f}{\partial \mathbf{p}} = 0 \iff \frac{\partial f}{\partial t} + \frac{dE}{d\mathbf{p}} \cdot \frac{\partial f}{\partial \mathbf{r}} - \frac{dE}{d\mathbf{r}} \cdot \frac{\partial f}{\partial \mathbf{p}} = 0$$



Équilibre : $f = f_o(\mathbf{r}, \mathbf{p})$

Equation de Vlasov, $E = \frac{p^2}{2m} + m\psi$

$$\frac{\partial f}{\partial t} + \frac{\mathbf{p}}{m} \cdot \frac{\partial f}{\partial \mathbf{r}} - m \frac{\partial \psi}{\partial \mathbf{r}} \cdot \frac{\partial f}{\partial \mathbf{p}} = 0 \iff \frac{\partial f}{\partial t} + \frac{dE}{d\mathbf{p}} \cdot \frac{\partial f}{\partial \mathbf{r}} - \frac{dE}{d\mathbf{r}} \cdot \frac{\partial f}{\partial \mathbf{p}} = 0$$

+ Equations de Hamilton $\frac{\partial f}{\partial t} + \frac{d\mathbf{r}}{dt} \cdot \frac{\partial f}{\partial \mathbf{r}} + \frac{d\mathbf{p}}{dt} \cdot \frac{\partial f}{\partial \mathbf{p}} = 0 \iff \frac{df}{dt} = 0$



Équilibre : $f = f_o(\mathbf{r}, \mathbf{p})$

Equation de Vlasov, $E = \frac{p^2}{2m} + m\psi$

$$\frac{\partial f}{\partial t} + \frac{\mathbf{p}}{m} \cdot \frac{\partial f}{\partial \mathbf{r}} - m \frac{\partial \psi}{\partial \mathbf{r}} \cdot \frac{\partial f}{\partial \mathbf{p}} = 0 \iff \frac{\partial f}{\partial t} + \frac{dE}{d\mathbf{p}} \cdot \frac{\partial f}{\partial \mathbf{r}} - \frac{dE}{d\mathbf{r}} \cdot \frac{\partial f}{\partial \mathbf{p}} = 0$$

+ Equations de Hamilton $\frac{\partial f}{\partial t} + \frac{d\mathbf{r}}{dt} \cdot \frac{\partial f}{\partial \mathbf{r}} + \frac{d\mathbf{p}}{dt} \cdot \frac{\partial f}{\partial \mathbf{p}} = 0 \iff \frac{df}{dt} = 0$

Intégrale première : $A_i = A_i(\mathbf{r}(t), \mathbf{p}(t)) \in \mathbb{R}$ telle que $\frac{dA_i}{dt} = 0$



Équilibre : $f = f_o(\mathbf{r}, \mathbf{p})$

Equation de Vlasov, $E = \frac{p^2}{2m} + m\psi$

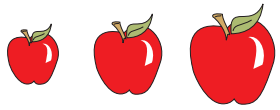
$$\frac{\partial f}{\partial t} + \frac{\mathbf{p}}{m} \cdot \frac{\partial f}{\partial \mathbf{r}} - m \frac{\partial \psi}{\partial \mathbf{r}} \cdot \frac{\partial f}{\partial \mathbf{p}} = 0 \iff \frac{\partial f}{\partial t} + \frac{dE}{d\mathbf{p}} \cdot \frac{\partial f}{\partial \mathbf{r}} - \frac{dE}{d\mathbf{r}} \cdot \frac{\partial f}{\partial \mathbf{p}} = 0$$

+ Equations de Hamilton $\frac{\partial f}{\partial t} + \frac{d\mathbf{r}}{dt} \cdot \frac{\partial f}{\partial \mathbf{r}} + \frac{d\mathbf{p}}{dt} \cdot \frac{\partial f}{\partial \mathbf{p}} = 0 \iff \frac{df}{dt} = 0$

Intégrale première : $A_i = A_i(\mathbf{r}(t), \mathbf{p}(t)) \in \mathbb{R}$ telle que $\frac{dA_i}{dt} = 0$

Remarque : si $f = f_o(A_1, \dots, A_n)$ alors

$$\frac{df}{dt} = \frac{\partial f_o}{\partial t} + \sum_{i=1}^n \frac{\partial f_o}{\partial A_i} \frac{dA_i}{dt} = 0$$



Équilibre : $f = f_o(\mathbf{r}, \mathbf{p})$

Equation de Vlasov, $E = \frac{p^2}{2m} + m\psi$

$$\frac{\partial f}{\partial t} + \frac{\mathbf{p}}{m} \cdot \frac{\partial f}{\partial \mathbf{r}} - m \frac{\partial \psi}{\partial \mathbf{r}} \cdot \frac{\partial f}{\partial \mathbf{p}} = 0 \iff \frac{\partial f}{\partial t} + \frac{dE}{d\mathbf{p}} \cdot \frac{\partial f}{\partial \mathbf{r}} - \frac{dE}{d\mathbf{r}} \cdot \frac{\partial f}{\partial \mathbf{p}} = 0$$

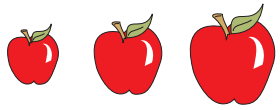
+ Equations de Hamilton $\frac{\partial f}{\partial t} + \frac{d\mathbf{r}}{dt} \cdot \frac{\partial f}{\partial \mathbf{r}} + \frac{d\mathbf{p}}{dt} \cdot \frac{\partial f}{\partial \mathbf{p}} = 0 \iff \frac{df}{dt} = 0$

Intégrale première : $A_i = A_i(\mathbf{r}(t), \mathbf{p}(t)) \in \mathbb{R}$ telle que $\frac{dA_i}{dt} = 0$

Remarque : si $f = f_o(A_1, \dots, A_n)$ alors

$$\frac{df}{dt} = \frac{\partial f_o}{\partial t} + \sum_{i=1}^n \frac{\partial f_o}{\partial A_i} \frac{dA_i}{dt} = 0$$

Théorème de Jeans : Toute fonction positive et normalisable ne dépendant que des intégrales premières du mouvement est une fonction de distribution d'équilibre d'un système autogravitant.



Équilibre : $f = f_o(\mathbf{r}, \mathbf{p})$

Equation de Vlasov, $E = \frac{p^2}{2m} + m\psi$

$$\frac{\partial f}{\partial t} + \frac{\mathbf{p}}{m} \cdot \frac{\partial f}{\partial \mathbf{r}} - m \frac{\partial \psi}{\partial \mathbf{r}} \cdot \frac{\partial f}{\partial \mathbf{p}} = 0 \iff \frac{\partial f}{\partial t} + \frac{dE}{d\mathbf{p}} \cdot \frac{\partial f}{\partial \mathbf{r}} - \frac{dE}{d\mathbf{r}} \cdot \frac{\partial f}{\partial \mathbf{p}} = 0$$

+ Equations de Hamilton $\frac{\partial f}{\partial t} + \frac{d\mathbf{r}}{dt} \cdot \frac{\partial f}{\partial \mathbf{r}} + \frac{d\mathbf{p}}{dt} \cdot \frac{\partial f}{\partial \mathbf{p}} = 0 \iff \frac{df}{dt} = 0$

Intégrale première : $A_i = A_i(\mathbf{r}(t), \mathbf{p}(t)) \in \mathbb{R}$ telle que $\frac{dA_i}{dt} = 0$

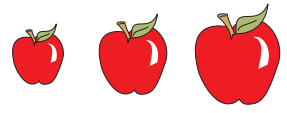
Remarque : si $f = f_o(A_1, \dots, A_n)$ alors

$$\frac{df}{dt} = \frac{\partial f_o}{\partial t} + \sum_{i=1}^n \frac{\partial f_o}{\partial A_i} \frac{dA_i}{dt} = 0$$

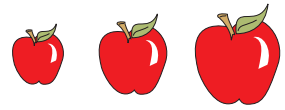
Théorème de Jeans : Toute fonction positive et normalisable ne dépendant que des intégrales premières du mouvement est une fonction de distribution d'équilibre d'un système autogravitant.

→ Vlasov : $\frac{dE}{dt} = 0$ donc $f_o(E)$ distribution d'équilibre

→ Autres intégrales ? $L^2 = |\mathbf{r} \wedge \mathbf{p}|^2$, $L_z = |\mathbf{r} \wedge \mathbf{p}| \cdot \hat{e}_z$, ...



Équilibre $f_o = f_o(E)$



Équilibre $f_o = f_o(E)$

Densité volumique de masse du système (particule test liée : $E < 0$)

$$\rho(\mathbf{r}) = m \int f(\mathbf{p}, \mathbf{r}) d\mathbf{p} = 4\pi m \int_0^{\sqrt{2m|\psi|}} f(E) p^2 dp$$



Équilibre $f_o = f_o(E)$

Densité volumique de masse du système (particule test liée : $E < 0$)

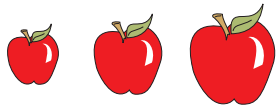
$$\rho(\mathbf{r}) = m \int f(\mathbf{p}, \mathbf{r}) d\mathbf{p} = 4\pi m \int_0^{\sqrt{2m|\psi|}} f(E) p^2 dp$$

$dE = m^{-1}pdp$ ainsi

$$\rho(\mathbf{r}) = 4\pi m^2 \int_{m\psi}^0 f(E) p dE = 4\pi m^2 \int_{m\psi}^0 f(E) \sqrt{2m(E - m\psi)} dE \quad (3)$$

$$= \rho(\psi(\mathbf{r})) \quad (4)$$

l'équation de Poisson s'écrit donc $\Delta\psi = 4\pi G\rho(\psi)$



Équilibre $f_o = f_o(E)$

Densité volumique de masse du système (particule test liée : $E < 0$)

$$\rho(\mathbf{r}) = m \int f(\mathbf{p}, \mathbf{r}) d\mathbf{p} = 4\pi m \int_0^{\sqrt{2m|\psi|}} f(E) p^2 dp$$

$dE = m^{-1} p dp$ ainsi

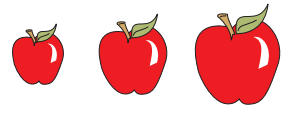
$$\rho(\mathbf{r}) = 4\pi m^2 \int_{m\psi}^0 f(E) p dE = 4\pi m^2 \int_{m\psi}^0 f(E) \sqrt{2m(E - m\psi)} dE \quad (3)$$

$$= \rho(\psi(\mathbf{r})) \quad (4)$$

l'équation de Poisson s'écrit donc $\Delta\psi = 4\pi G\rho(\psi)$

Théorème Gidas-Ni-Nirenberg 1

Hypothèses : $u \in C^2(\mathbb{R}^n, \mathbb{R}_-)$, $\exists m > 0 / u(\mathbf{x}) = O(|\mathbf{x}|^{-m})$ quand $\mathbf{x} \rightarrow +\infty$ et solution de $\Delta u = h(u)$ avec $h \searrow \in C^2(\mathbb{R}, \mathbb{R}_+)$ telle que $\exists \alpha > \frac{4}{m} / h(u) = O(u^\alpha)$ quand $u \rightarrow 0$.
Conclusion : u est une fonction radiale croissante.



Application en astrophysique

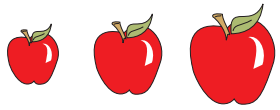


Application en astrophysique

Système isolé, $\psi < 0$, $\rho \searrow$:

$$f = f(E) \Rightarrow \rho = \rho(\psi) \Rightarrow \psi = \psi(r) \Rightarrow \rho = \rho(r) \quad \text{avec } r = |\mathbf{r}|$$

Un système dont la fonction de distribution ne dépend que de l'énergie possède la symétrie sphérique dans l'espace des positions.



Application en astrophysique

Système isolé, $\psi < 0$, $\rho \searrow$:

$$f = f(E) \Rightarrow \rho = \rho(\psi) \Rightarrow \psi = \psi(r) \Rightarrow \rho = \rho(r) \quad \text{avec } r = |\mathbf{r}|$$

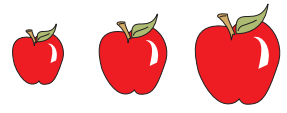
Un système dont la fonction de distribution ne dépend que de l'énergie possède la symétrie sphérique dans l'espace des positions.

Dispersion de vitesse :

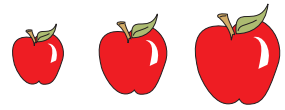
$$\forall i = 1, 2, 3 \quad \sigma_i^2 = \frac{1}{\rho} \int \left(\frac{\mathbf{p} \cdot \hat{\mathbf{e}}_i}{m} \right)^2 f(E) d\mathbf{p}$$

Comme $f(E) = f(|\mathbf{p}|, |\mathbf{r}|)$ on a $\sigma_1^2 = \sigma_2^2 = \sigma_3^2$

Un système dont la fonction de distribution ne dépend que de l'énergie est isotrope dans l'espace des vitesses.



Équilibre $f_o = f_o(E, L^2)$



Équilibre $f_o = f_o(E, L^2)$

La densité volumique de masse vaut toujours

$$\rho(\mathbf{r}) = m \int f(\mathbf{p}, \mathbf{r}) d\mathbf{p}$$

mais maintenant $f = f(E, L^2)$ avec

$$L = |\mathbf{r} \wedge \mathbf{p}| = rp\sqrt{1 - \mu^2} \quad \text{avec} \quad \mu = \cos(\widehat{\mathbf{r}, \mathbf{p}}) \quad (5)$$



Équilibre $f_o = f_o(E, L^2)$

La densité volumique de masse vaut toujours

$$\rho(\mathbf{r}) = m \int f(\mathbf{p}, \mathbf{r}) d\mathbf{p}$$

mais maintenant $f = f(E, L^2)$ avec

$$L = |\mathbf{r} \wedge \mathbf{p}| = rp\sqrt{1 - \mu^2} \quad \text{avec } \mu = \cos(\widehat{\mathbf{r}, \mathbf{p}}) \quad (5)$$

on a donc

$$\rho(\mathbf{r}) = 2\pi m \int \int f(r, p, \mu) p^2 dp d\mu$$

et après quelques lignes

$$\rho(\mathbf{r}) = \frac{\pi m^2}{r} \int_{m\psi}^0 dE \int_0^{2r^2(E - m\psi)} f(E, L^2) \frac{dL^2}{\sqrt{2mr^2(E - m\psi) - L^2}}$$



Équilibre $f_o = f_o(E, L^2)$

La densité volumique de masse vaut toujours

$$\rho(\mathbf{r}) = m \int f(\mathbf{p}, \mathbf{r}) d\mathbf{p}$$

mais maintenant $f = f(E, L^2)$ avec

$$L = |\mathbf{r} \wedge \mathbf{p}| = rp\sqrt{1 - \mu^2} \quad \text{avec } \mu = \cos(\widehat{\mathbf{r}, \mathbf{p}}) \quad (5)$$

on a donc

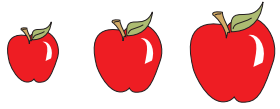
$$\rho(\mathbf{r}) = 2\pi m \int \int f(r, p, \mu) p^2 dp d\mu$$

et après quelques lignes

$$\rho(\mathbf{r}) = \frac{\pi m^2}{r} \int_{m\psi}^0 dE \int_0^{2r^2(E - m\psi)} f(E, L^2) \frac{dL^2}{\sqrt{2mr^2(E - m\psi) - L^2}}$$

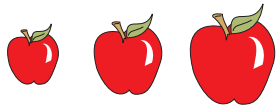
soit

$$\rho = \rho(r, \psi)$$



L'équation de Poisson s'écrit donc maintenant

$$\Delta\psi = 4\pi G\rho(\psi, r)$$

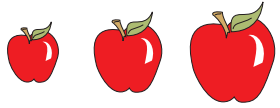


L'équation de Poisson s'écrit donc maintenant

$$\Delta\psi = 4\pi G\rho(\psi, r)$$

Théorème Gidas-Nirenberg 2

La conclusion est inchangée si $\Delta u = h(u, |\mathbf{x}|)$ et h strictement décroissante en $|\mathbf{x}|$.



L'équation de Poisson s'écrit donc maintenant

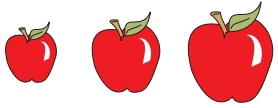
$$\Delta\psi = 4\pi G\rho(\psi, r)$$

Théorème Gidas-Nirenberg 2

La conclusion est inchangée si $\Delta u = h(u, |\mathbf{x}|)$ et h strictement décroissante en $|\mathbf{x}|$.

Application en astrophysique :

- 🍏 Un système autogravitant avec $f_o = f_o(E, L^2)$ tel que sa densité volumique de masse est décroissante en ψ et strictement décroissante en r possède la symétrie sphérique dans l'espace des positions.




L'équation de Poisson s'écrit donc maintenant


$$\Delta\psi = 4\pi G\rho(\psi, r)$$

Théorème Gidas-Nirenberg 2

La conclusion est inchangée si $\Delta u = h(u, |\mathbf{x}|)$ et h strictement décroissante en $|\mathbf{x}|$.

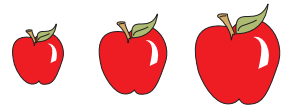
Application en astrophysique :

 Un système autogravitant avec $f_o = f_o(E, L^2)$ tel que sa densité volumique de masse est décroissante en ψ et strictement décroissante en r possède la symétrie sphérique dans l'espace des positions.

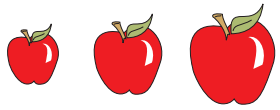
 Un tel système peut présenter une anisotropie dans l'espace des vitesses : la dépendance en $L^2 = mr^2 (v_\theta^2 + v_\varphi^2)$ brise l'isotropie des vitesses que véhiculait $E = \frac{1}{2}mr (v_r^2 + v_\theta^2 + v_\varphi^2) + \psi(r)$, ainsi d'une manière générale

$$\sigma_r^2 \neq \sigma_\theta^2 = \sigma_\varphi^2$$

L'anisotropie peut être radiale ou tangentielle.



Orbite dans un potentiel radial



Orbite dans un potentiel radial

Potentiel radial $\psi = \psi(r) \Rightarrow$ force $\mathbf{F} = \nabla(m\psi)$ radiale \Rightarrow conservation de $\mathbf{L} = \mathbf{r} \wedge \mathbf{p}$
 \Rightarrow Mvt plan.



Orbite dans un potentiel radial

Potentiel radial $\psi = \psi(r) \Rightarrow$ force $\mathbf{F} = \nabla(m\psi)$ radiale \Rightarrow conservation de $\mathbf{L} = \mathbf{r} \wedge \mathbf{p}$
 \Rightarrow Mvt plan.

Coordonnées polaires (r, θ) dans ce plan, équations du mouvement

$$\begin{cases} mr^2 \frac{d\theta}{dt} = L = cste \\ \frac{E}{m} = \frac{1}{2} \left(\frac{dr}{dt} \right)^2 + \frac{1}{2} \frac{L^2}{m^2 r^2} + \psi(r) = cste \end{cases} \quad (6)$$



Orbite dans un potentiel radial

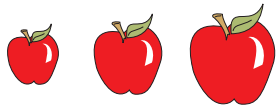
Potentiel radial $\psi = \psi(r) \Rightarrow$ force $\mathbf{F} = \nabla(m\psi)$ radiale \Rightarrow conservation de $\mathbf{L} = \mathbf{r} \wedge \mathbf{p}$
 \Rightarrow Mvt plan.

Coordonnées polaires (r, θ) dans ce plan, équations du mouvement

$$\begin{cases} mr^2 \frac{d\theta}{dt} = L = cste \\ \frac{E}{m} = \frac{1}{2} \left(\frac{dr}{dt} \right)^2 + \frac{1}{2} \frac{L^2}{m^2 r^2} + \psi(r) = cste \end{cases} \quad (6)$$

Propriétés du potentiel :

 Système lié $\psi(r) < 0$, Système isolé $\psi(r \rightarrow +\infty) = 0$,



Orbite dans un potentiel radial

Potentiel radial $\psi = \psi(r) \Rightarrow$ force $\mathbf{F} = \nabla(m\psi)$ radiale \Rightarrow conservation de $\mathbf{L} = \mathbf{r} \wedge \mathbf{p}$
 \Rightarrow Mvt plan.

Coordonnées polaires (r, θ) dans ce plan, équations du mouvement

$$\begin{cases} mr^2 \frac{d\theta}{dt} = L = cste \\ \frac{E}{m} = \frac{1}{2} \left(\frac{dr}{dt} \right)^2 + \frac{1}{2} \frac{L^2}{m^2 r^2} + \psi(r) = cste \end{cases} \quad (6)$$

Propriétés du potentiel :

 Système lié $\psi(r) < 0$, Système isolé $\psi(r \rightarrow +\infty) = 0$,

 Comportement en 0 : Supposons $\psi(r) \propto \frac{1}{r^\alpha}$ pour $r \rightarrow 0$, Poisson

$$\rho \propto \Delta\psi \propto \frac{1}{r^2} \frac{d}{dr} \left(r^2 \frac{d}{dr} \left(\frac{1}{r^\alpha} \right) \right) \propto \frac{1}{r^{\alpha+2}}$$

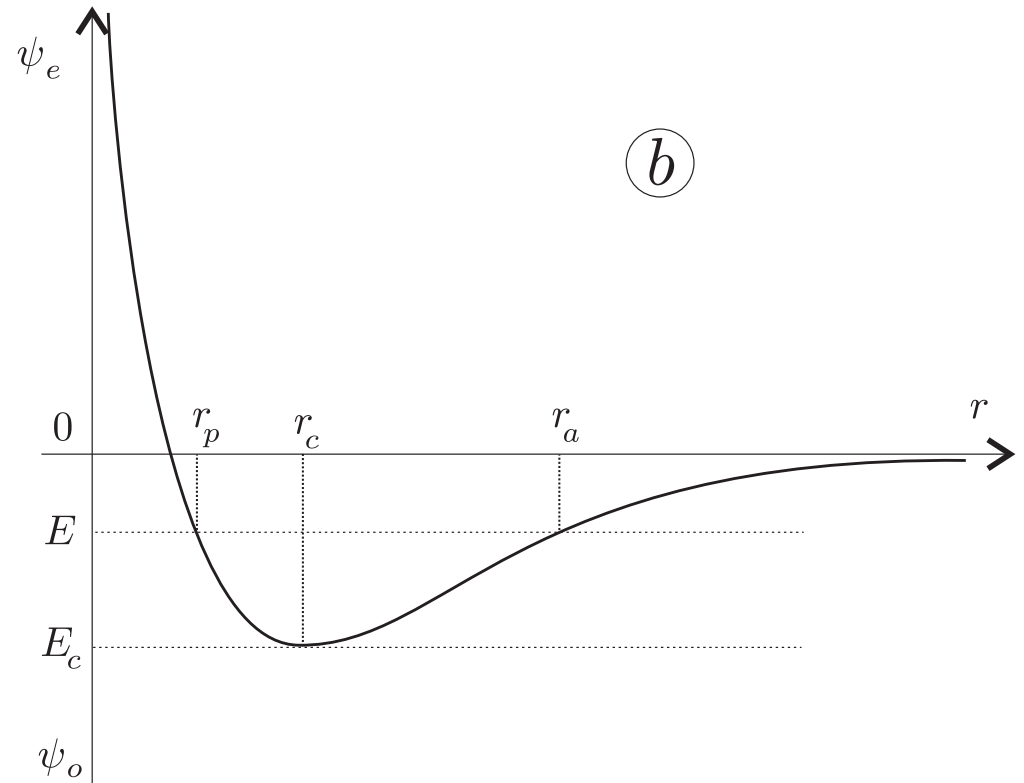
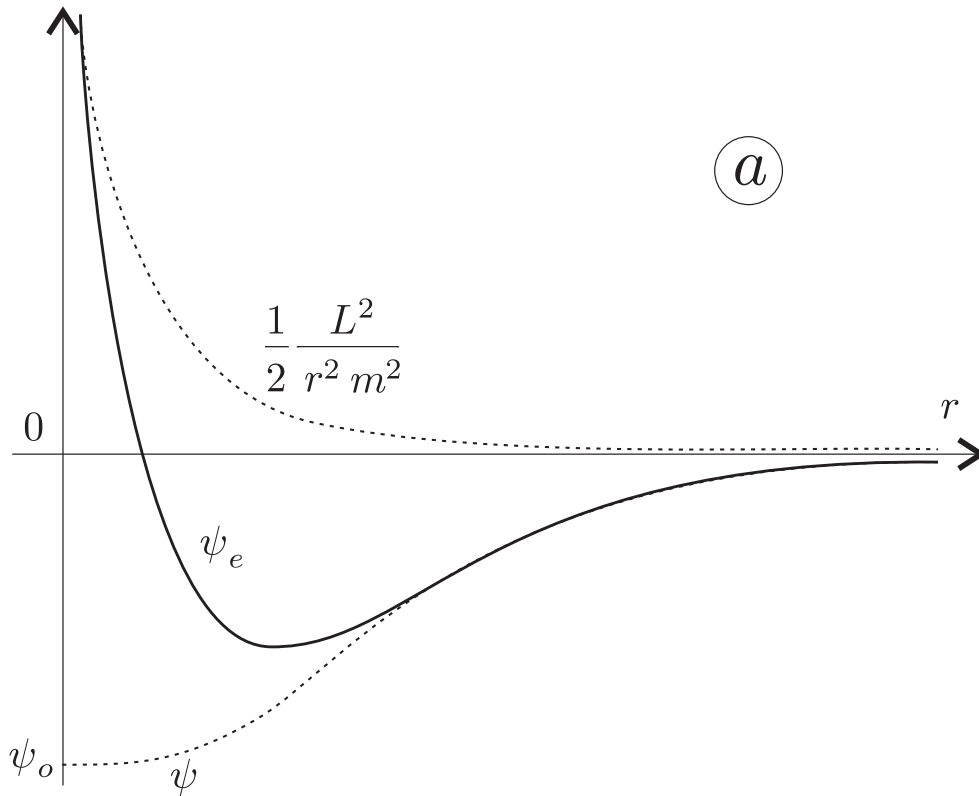
+ Hypothèse de masse finie

$$M \propto \int_0^{r_{\max}} r^2 \rho(r) dr \propto \int_0^{r_{\max}} \frac{dr}{r^\alpha} \Rightarrow \alpha < 1$$

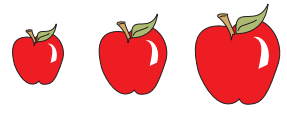


Apo-Pericentre

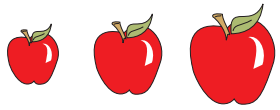
Potentiel effectif : $\psi_e(r) := \frac{1}{2} \frac{L^2}{m^2 r^2} + \psi(r)$. Si $M < \infty$,

$$\begin{cases} \psi_e(r \rightarrow +\infty) \rightarrow 0^- \\ \psi_e(r \rightarrow 0) \rightarrow +\infty \end{cases}$$


l'énergie d'une particule test est bornée $E = \left(\frac{m}{2} \left(\frac{dr}{dt} \right)^2 + m\psi_e(r) \right) \in [E_c, 0]$
 et $r_p \leq r(t) \leq r_a$



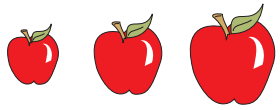
Période radiale



Période radiale

EDO vérifiée par $r(t)$:

$$\frac{E}{m} = \frac{1}{2} \left(\frac{dr}{dt} \right)^2 + \frac{1}{2} \frac{L^2}{m^2 r^2} + \psi(r)$$



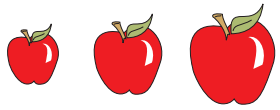
Période radiale

EDO vérifiée par $r(t)$:

$$\frac{E}{m} = \frac{1}{2} \left(\frac{dr}{dt} \right)^2 + \frac{1}{2} \frac{L^2}{m^2 r^2} + \psi(r)$$

On calcule

$$\frac{\tau}{2} = \int_{r_p}^{r_a} \frac{dt}{dr} dr = \int_{r_p}^{r_a} \frac{dr}{\sqrt{2 \left(\frac{E}{m} - \psi(r) \right) - \frac{L^2}{m^2 r^2}}} \quad (7)$$



Période radiale

EDO vérifiée par $r(t)$:

$$\frac{E}{m} = \frac{1}{2} \left(\frac{dr}{dt} \right)^2 + \frac{1}{2} \frac{L^2}{m^2 r^2} + \psi(r)$$

On calcule

$$\frac{\tau}{2} = \int_{r_p}^{r_a} \frac{dt}{dr} dr = \int_{r_p}^{r_a} \frac{dr}{\sqrt{2 \left(\frac{E}{m} - \psi(r) \right) - \frac{L^2}{m^2 r^2}}} \quad (7)$$

Si $E \in [E_c < 0, 0]$ et $M < \infty$, alors $\frac{\tau}{2} < \infty$, ainsi

$$r(t) = r_p \Rightarrow r\left(t + \frac{\tau}{2}\right) = r_a \Rightarrow r(t + \tau) = r_p = r(t)$$



Période radiale

EDO vérifiée par $r(t)$:

$$\frac{E}{m} = \frac{1}{2} \left(\frac{dr}{dt} \right)^2 + \frac{1}{2} \frac{L^2}{m^2 r^2} + \psi(r)$$

On calcule

$$\frac{\tau}{2} = \int_{r_p}^{r_a} \frac{dt}{dr} dr = \int_{r_p}^{r_a} \frac{dr}{\sqrt{2 \left(\frac{E}{m} - \psi(r) \right) - \frac{L^2}{m^2 r^2}}} \quad (7)$$

Si $E \in [E_c < 0, 0]$ et $M < \infty$, alors $\frac{\tau}{2} < \infty$, ainsi

$$r(t) = r_p \Rightarrow r\left(t + \frac{\tau}{2}\right) = r_a \Rightarrow r(t + \tau) = r_p = r(t)$$

Les fonctions $r(t)$ et $r(t + \tau)$ sont solutions de la même EDO.

Cauchy \Rightarrow

La fonction $r(t)$ est τ -périodique

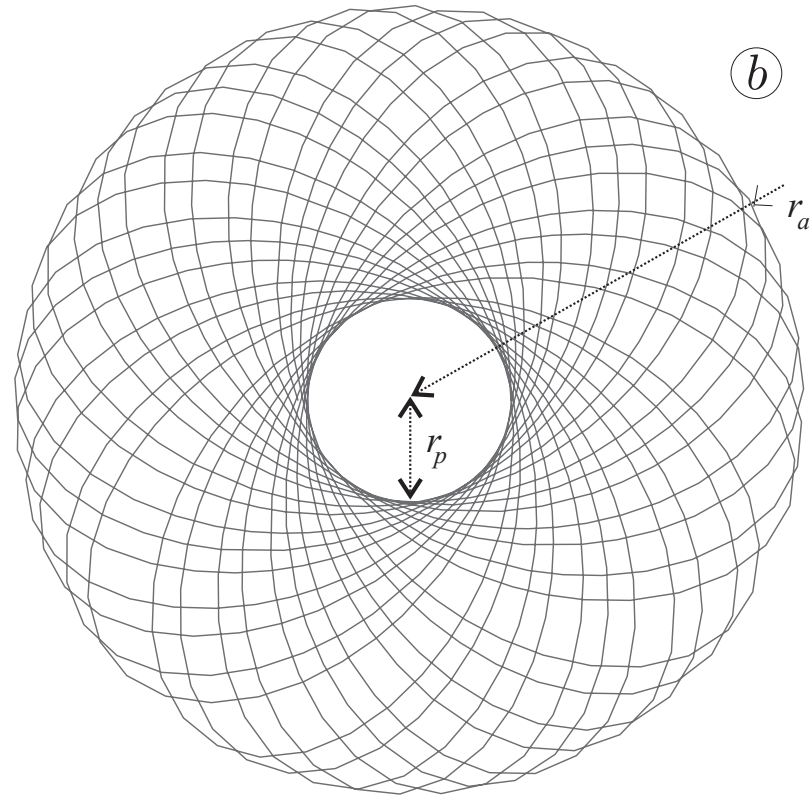
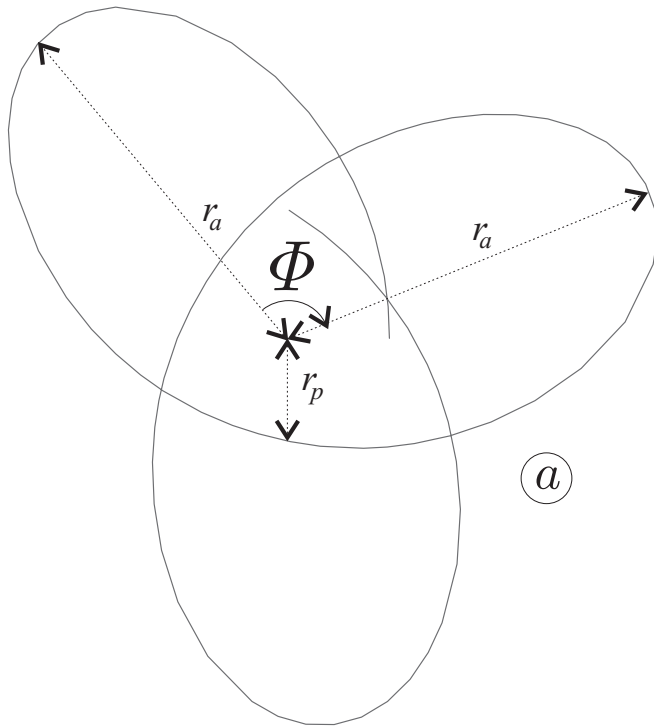
En se donnant le potentiel, on calcule $\tau = T_{orb} \dots$



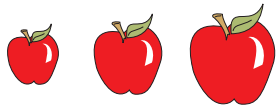
Décalage de l'apocentre

Pendant une période radiale, l'angle Φ correspondant au mouvement de l'apocentre s'écrit

$$\Phi = 2 \int_{r_p}^{r_a} \frac{d\theta}{dt} \frac{dt}{dr} dr = \frac{2}{m} \int_{r_p}^{r_a} \frac{L dr}{r^2 \sqrt{2 \left(\frac{E}{m} - \psi(r) \right) - \frac{L^2}{m^2 r^2}}}$$



On remarque que $\tau = \tau(E, L^2)$ et l'angle $\Phi = \Phi(E, L^2)$... Le cas du potentiel isochrone !



Inversions & Applications

Première formule d'Abel (Eddington) - $0 < \alpha < 1$

$$f(x) = \int_0^x \frac{g(t)}{(x-t)^\alpha} dt$$



$$\begin{aligned} g(t) &= \frac{\sin(\pi\alpha)}{\pi} \frac{d}{dt} \int_0^t \frac{f(x)}{(t-x)^{1-\alpha}} dx \\ &= \frac{\sin(\pi\alpha)}{\pi} \left[\int_0^t \frac{df}{dx} \frac{dx}{(t-x)^{1-\alpha}} + \frac{f(0)}{t^{1-\alpha}} \right] \end{aligned}$$



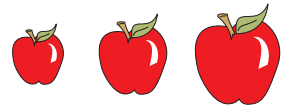
Inversions & Applications

Seconde formule d'Abel (Eddington) - $0 < \alpha < 1$

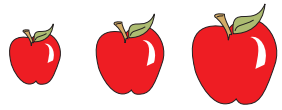
$$f(x) = \int_x^{+\infty} \frac{g(t)}{(t-x)^\alpha} dt$$



$$\begin{aligned} g(t) &= -\frac{\sin(\pi\alpha)}{\pi} \frac{d}{dt} \int_t^{+\infty} \frac{f(x)}{(x-t)^{1-\alpha}} dx \\ &= -\frac{\sin(\pi\alpha)}{\pi} \left[\int_t^{+\infty} \frac{df}{dx} \frac{dx}{(x-t)^{1-\alpha}} - \lim_{x \rightarrow +\infty} \frac{f(x)}{(x-t)^{1-\alpha}} \right] \end{aligned}$$



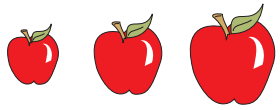
Inventer la troisième dimension ...



Inventer la troisième dimension ...

Système sphérique, $I(R)$: profil de luminosité projetée, $\lambda(r)$ et $\rho(r)$: densités de lumière et de masse dans l'espace.

$$\rho(r) = \Upsilon(r) \lambda(r)$$

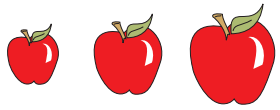


Inventer la troisième dimension ...

Système sphérique, $I(R)$: profil de luminosité projetée, $\lambda(r)$ et $\rho(r)$: densités de lumière et de masse dans l'espace.

$$\rho(r) = \Upsilon(r) \lambda(r)$$

🍌 Amas globulaire : $\Upsilon \approx 3 \Upsilon_{\odot}$ [$3,4 \pm 1.0$ pour NGC 1835 (voir [melheg])]]



Inventer la troisième dimension ...

Système sphérique, $I(R)$: profil de luminosité projetée, $\lambda(r)$ et $\rho(r)$: densités de lumière et de masse dans l'espace.

$$\rho(r) = \Upsilon(r) \lambda(r)$$

 Amas globulaire : $\Upsilon \approx 3 \Upsilon_{\odot}$ [$3,4 \pm 1.0$ pour NGC 1835 (voir [melheg])]]

 Galaxie elliptique $\Upsilon \approx 10 \Upsilon_{\odot}$ (voir [lauer] pour une longue liste ...)



Inventer la troisième dimension ...

Système sphérique, $I(R)$: profil de luminosité projetée, $\lambda(r)$ et $\rho(r)$: densités de lumière et de masse dans l'espace.

$$\rho(r) = \Upsilon(r) \lambda(r)$$

 Amas globulaire : $\Upsilon \approx 3 \Upsilon_{\odot}$ [$3,4 \pm 1.0$ pour NGC 1835 (voir [melheg])]]

 Galaxie elliptique $\Upsilon \approx 10 \Upsilon_{\odot}$ (voir [lauer] pour une longue liste ...)

 $\Upsilon \approx 100 \Upsilon_{\odot}$ pour les amas de galaxies.



Inventer la troisième dimension ...

Système sphérique, $I(R)$: profil de luminosité projetée, $\lambda(r)$ et $\rho(r)$: densités de lumière et de masse dans l'espace.

$$\rho(r) = \Upsilon(r) \lambda(r)$$

🍌 Amas globulaire : $\Upsilon \approx 3 \Upsilon_{\odot}$ [$3,4 \pm 1.0$ pour NGC 1835 (voir [melheg])]

🍏 Galaxie elliptique $\Upsilon \approx 10 \Upsilon_{\odot}$ (voir [lauer] pour une longue liste ...)

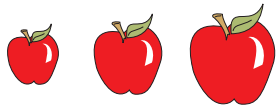
🍑 $\Upsilon \approx 100 \Upsilon_{\odot}$ pour les amas de galaxies.

Pour un objet donné nous prendrons donc

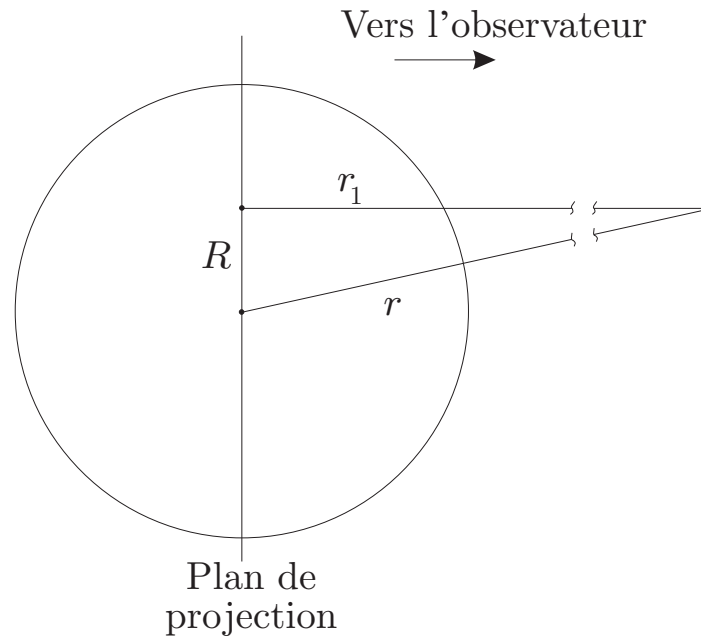
$$\rho(r) = \Upsilon \lambda(r) \quad \text{avec } \Upsilon = \text{cste}$$

Luminosité radiale projetée $I(R)$ dans le plan orthogonal à une ligne de visée Or_1 :
intégration ...

$$I = 2 \int_0^{\infty} \lambda(r) dr_1$$



Inventer la troisième dimension ...

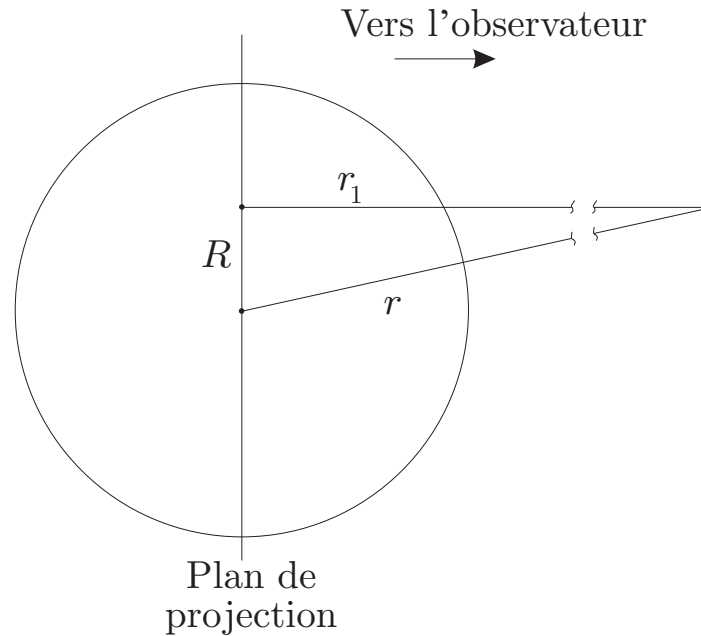


Comme $r^2 = R^2 + r_1^2$

$$I(R) = 2 \int_R^\infty \frac{\lambda(r) r}{\sqrt{r^2 - R^2}} dr = \frac{1}{\Upsilon} \int_x^\infty \frac{\rho(t)}{(t-x)^{1/2}} dt \quad \text{avec } x = R^2 \text{ et } t = r^2$$



Inventer la troisième dimension ...



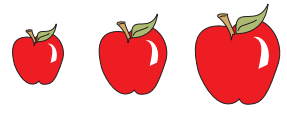
Comme $r^2 = R^2 + r_1^2$

$$I(R) = 2 \int_R^\infty \frac{\lambda(r) r}{\sqrt{r^2 - R^2}} dr = \frac{1}{\Upsilon} \int_x^\infty \frac{\rho(t)}{(t-x)^{1/2}} dt \quad \text{avec } x = R^2 \text{ et } t = r^2$$

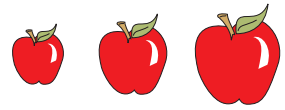
Deuxième formule d'Abel :

$$\rho(r) = -\frac{\Upsilon}{\pi} \int_{r^2}^\infty \frac{dI}{dR} \frac{dR}{\sqrt{R^2 - r^2}} \quad (8)$$


et le tour est joué ...



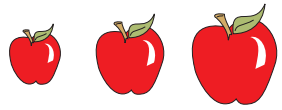
f à partir de ρ




f à partir de ρ

 $\psi < 0$ et $\lim_{|\mathbf{r}| \rightarrow +\infty} \psi(\mathbf{r}) = ?$ on pose donc

$$\varphi = \psi_{\infty} - \psi \quad \text{avec} \quad \lim_{|\mathbf{r}| \rightarrow +\infty} \psi(\mathbf{r}) = \psi_{\infty}$$



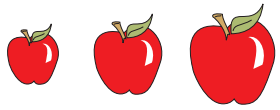
f à partir de ρ

 $\psi < 0$ et $\lim_{|\mathbf{r}| \rightarrow +\infty} \psi(\mathbf{r}) = ?$ on pose donc


$$\varphi = \psi_{\infty} - \psi \quad \text{avec} \quad \lim_{|\mathbf{r}| \rightarrow +\infty} \psi(\mathbf{r}) = \psi_{\infty}$$

 Particule test liée : $E < 0$ on pose donc

$$\varepsilon = m\psi_{\infty} - E = m\varphi - \frac{p^2}{2m}$$



f à partir de ρ

 $\psi < 0$ et $\lim_{|\mathbf{r}| \rightarrow +\infty} \psi(\mathbf{r}) = ?$ on pose donc

$$\varphi = \psi_{\infty} - \psi \quad \text{avec} \quad \lim_{|\mathbf{r}| \rightarrow +\infty} \psi(\mathbf{r}) = \psi_{\infty}$$

 Particule test liée : $E < 0$ on pose donc


$$\varepsilon = m\psi_{\infty} - E = m\varphi - \frac{p^2}{2m}$$

Fonction de distribution d'équilibre d'un système sphérique isotrope

$$f = \begin{cases} f(\varepsilon) & \text{si } \varepsilon > 0 \\ 0 & \text{si } \varepsilon \leq 0 \end{cases} \quad \text{on a } \varepsilon = 0 \text{ pour } p = m\sqrt{2\varphi}$$



f à partir de ρ

 $\psi < 0$ et $\lim_{|\mathbf{r}| \rightarrow +\infty} \psi(\mathbf{r}) = ?$ on pose donc

$$\varphi = \psi_{\infty} - \psi \quad \text{avec} \quad \lim_{|\mathbf{r}| \rightarrow +\infty} \psi(\mathbf{r}) = \psi_{\infty}$$

 Particule test liée : $E < 0$ on pose donc

$$\varepsilon = m\psi_{\infty} - E = m\varphi - \frac{p^2}{2m}$$

Fonction de distribution d'équilibre d'un système sphérique isotrope

$$f = \begin{cases} f(\varepsilon) & \text{si } \varepsilon > 0 \\ 0 & \text{si } \varepsilon \leq 0 \end{cases} \quad \text{on a } \varepsilon = 0 \text{ pour } p = m\sqrt{2\varphi}$$

Densité volumique de masse

$$\begin{aligned} \rho(\mathbf{r}) &= m \int f(\varepsilon) d\mathbf{p} \\ &= 4\pi m \int_0^{m\sqrt{2\varphi}} f(\varepsilon) p^2 dp \end{aligned}$$



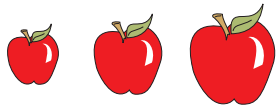
f à partir de ρ

pour une valeur donnée du rayon, on peut écrire

$$p = \sqrt{2m} (m\varphi - \varepsilon)^{1/2} \text{ et } pdp = -m d\varepsilon$$

ainsi

$$\rho(\mathbf{r}) = 4\sqrt{2}\pi m^{5/2} \int_0^{m\varphi} f(\varepsilon) (m\varphi - \varepsilon)^{1/2} d\varepsilon = \rho(\varphi)$$



f à partir de ρ

pour une valeur donnée du rayon, on peut écrire

$$p = \sqrt{2m} (m\varphi - \varepsilon)^{1/2} \text{ et } p dp = -m d\varepsilon$$

ainsi

$$\rho(\mathbf{r}) = 4\sqrt{2}\pi m^{5/2} \int_0^{m\varphi} f(\varepsilon) (m\varphi - \varepsilon)^{1/2} d\varepsilon = \rho(\varphi)$$

En dérivant par rapport à φ

$$\frac{1}{2\sqrt{2}\pi m^{7/2}} \frac{d\rho}{d\varphi} = \int_0^{m\varphi} \frac{f(\varepsilon)}{(m\varphi - \varepsilon)^{1/2}} d\varepsilon$$



f à partir de ρ

pour une valeur donnée du rayon, on peut écrire

$$p = \sqrt{2m} (m\varphi - \varepsilon)^{1/2} \text{ et } pdp = -m d\varepsilon$$

ainsi

$$\rho(\mathbf{r}) = 4\sqrt{2}\pi m^{5/2} \int_0^{m\varphi} f(\varepsilon) (m\varphi - \varepsilon)^{1/2} d\varepsilon = \rho(\varphi)$$

En dérivant par rapport à φ

$$\frac{1}{2\sqrt{2}\pi m^{7/2}} \frac{d\rho}{d\varphi} = \int_0^{m\varphi} \frac{f(\varepsilon)}{(m\varphi - \varepsilon)^{1/2}} d\varepsilon$$

Première formule d'Abel

$$f(\varepsilon) = \frac{1}{2\sqrt{2}\pi^2 m^{7/2}} \left[\int_0^\varepsilon \frac{d^2\rho}{d\varphi^2} \frac{d\varphi}{(\varepsilon - m\varphi)^{1/2}} + \frac{1}{\varepsilon^{1/2}} \frac{d\rho}{d\varphi} \Big|_{\varphi=0} \right] \quad (9)$$

- [Hernquist] L. Hernquist, *An analytical model for spherical galaxies and bulges*, **The Astrophysical Journal**, vol. 356, pp. 359-364, 1990.
- [merritt] D. Merritt, A. W. Graham, B. Moore, J. Diemand, B. Terzic, *Empirical models for dark matter halos I*, **The Astronomical Journal**, vol. 132, pp. 2685-2700, 2006.
- [BT] J. Binney & S. Tremaine, *Galactic dynamics*, **Princeton university press**, 1987
- [LGM] G. B. Lima Neto, D. Gerbal & I. Marquez, , **Monthly Notices of the Royal Astronomical Society**, vol. 309, pp. 481-495, 1999.
- [henon] M. Hénon, *L'amas isochrone*, **Annales d'astrophysique**, vol. 22, p. 126, 1959
- [Jaffe] W. Jaffe, *A simple model for the distribution of light in spherical galaxies*, **Monthly Notices of the Royal Astronomical Society**, vol. 202, pp. 995-999, 1983
- [Chandra] S. Chandrasekhar, *Introduction to the Study of Stellar Structure*, **Dover Publications**, 509 pages, 1958

- [King] I. King, *The structure of star clusters. III. Some simple dynamical models*, **Astronomical Journal**, Vol. 71, pp. 64-75, 1966
- [FP] A.M. Fridman & V.L. Polyachenko, *Physics of Gravitating Systems*, Vols. 1 and 2, **Springer**, New York, 1984
- [MK] M. K.-H. Kiessling, *The Jeans Swindle. A True Story: Mathematically Speaking*, **Advances in Applied Mathematics**, vol 31, pp. 132-149, 2003
- [vdVMK] G. van de Ven, R. Mandelbaum and C. R. Keeton, *Galaxy density profiles and shapes - I. Simulation pipeline for lensing by realistic galaxy models*, **Monthly Notices of the Royal Astronomical Society**, vol. 398, pp. 607-634, 2009
- [elshutina] R. Elson, P. Hut and S. Inagaki, *Dynamical evolution of globular clusters*, **Annual Review of Astronomy and Astrophysics**, Vol. 25, pp. 565-601, 1987

- [melheg] G. Meylan and D. C. Heggie, Internal dynamics of globular clusters, **The Astronomy and Astrophysics Review**, Vol. 8, pp. 1-143, 1997
- [RP] F. Roy & J. Perez, *Dissipationless collapse of a set of N massive particles*, **Monthly Notices of the Royal Astronomical Society**, vol. 348, p. 62, 2004
- [JMSL] M. Joyce, B. Marcos & F. Sylos Labini, *Energy ejection in the collapse of a cold spherical self-gravitating cloud*, **Monthly Notices of the Royal Astronomical Society**, vol.397, p. 775, 2009
- [lauer] T.R. Lauer, *The cores of elliptical galaxies*, **The Astrophysical Journal**, vol. 292, pp 104-121,1985
- [HH] D. Heggie and Piet Hut, *The gravitational Million-Body problem*, **Cambridge University Press**, 2003